

UNIVERSIDADE DE SÃO PAULO

Instituto de Ciências Matemáticas e de Computação

**Redes Neurais Artificiais Empregadas no
Reconhecimento e Classificação de eventos em
series temporais**

Drausio Linardi Rossi

Monografia - MBA em Inteligência Artificial e Big Data

SERVIÇO DE PÓS-GRADUAÇÃO DO ICMC-USP

Data de Depósito:

Assinatura: _____

Drausio Linardi Rossi

Redes Neurais Artificiais Empregadas no Reconhecimento e Classificação de eventos em series temporais

Monografia apresentada ao Departamento de Ciências de Computação do Instituto de Ciências Matemáticas e de Computação, Universidade de São Paulo - ICMC/USP, como parte dos requisitos para obtenção do título de Especialista em Inteligência Artificial e Big Data.

Área de concentração: Inteligência Artificial

Orientador: Advisor: Prof. Dr. Jó Ueyama

Versão original

São Carlos
2024

AUTORIZO A REPRODUÇÃO E DIVULGAÇÃO TOTAL OU PARCIAL DESTE TRABALHO,
POR QUALQUER MEIO CONVENCIONAL OU ELETRÔNICO PARA FINS DE ESTUDO E
PESQUISA, DESDE QUE CITADA A FONTE.

Ficha catalográfica elaborada pela Biblioteca Prof. Achille Bassi, ICMC/USP, com os dados fornecidos pelo(a) autor(a)

S856m	Linardi Rossi, Drausio Redes Neurais Artificiais Empregadas no Reconhecimento e Classificação de eventos em séries temporais / Drausio Linardi Rossi ; orientador Jó Ueyama ; co-orientador Caetano Mazzoni Ranieri. – São Carlos, 2024. 57 p. : il. (algumas color.) ; 30 cm.
Monografia (MBA em Inteligência Artificial e Big Data) – Instituto de Ciências Matemáticas e de Computação, Universidade de São Paulo, 2024.	
1. LaTeX. 2. abnTeX. 3. Classe USPSC. 4. Edição de texto. 5. Normalização da documentação. 6. Tese. 7. Dissertação. 8. Documentos (elaboração). 9. Documentos eletrônicos. I. Ueyama, Jó, orient. II. Mazzoni Ranieri, Caetano, co-orient. II. Título.	

Drausio Linardi Rossi

Event Recognition in Time Series using Artificial Neural Networks

Monograph presented to the Departamento de Ciências de Computação do Instituto de Ciências Matemáticas e de Computação, Universidade de São Paulo - ICMC/USP, as part of the requirements for obtaining the title of Specialist in Artificial Intelligence and Big Data.

Concentration area: Artificial Intelligence

Advisor: Prof. Dr. Jó Ueyama

Original version

**São Carlos
2024**

*Este trabalho é dedicado aos alunos, professores e todos os funcionários da USP, como
uma contribuição
das Bibliotecas do Campus USP de São Carlos para o desenvolvimento
e disseminação da pesquisa científica da Universidade.*

AGRADECIMENTOS

Deus.

À minha Esposa Marcia por toda sua dedicação e aos meus filhos Hiago e Heitor.

Aos meus orientadores Prof. Dr. Jó Ueyama e Dr. Caetano Mazzoni Ranieri pela atenção, amizade e excelente orientação.

Aos organizadores deste Curso, que me possibilitaram, mesmo que a distância, a ter a chance de ampliar os meus conhecimentos.

A minha gratidão e muito obrigado.

*“Dê-me, Senhor, agudeza para entender, capacidade para reter, método e
faculdade para aprender, sutileza para interpretar, graça e abundância para falar.
Dê-me, Senhor, acerto ao começar, direção ao progredir e perfeição ao concluir.”*

Santo Tomás de Aquino

RESUMO

Linardi Rossi, D. Redes Neurais Artificiais Empregadas no Reconhecimento e Classificação de eventos em series temporais. 2024. 57 p. Monografia (MBA em Inteligência Artificial e Big Data) - Instituto de Ciências Matemáticas e de Computação, Universidade de São Paulo, São Carlos, 2024.

O presente trabalho tem como objetivo o estudo dos sinais gerados por sensores MEMs (Micro-Electro-Mechanical Systems), utilizar os sinais gerados e aquisitados por estes sensores através de um smartphone que foi colocado dentro de um veículo que efetuou manobras específicas, e através da inteligência artificial criar uma rede neural para classificar os tipos de eventos ou manobras que foram aquisitados.

Palavras-chave: MEMs. Inteligencia Artificial. Series Temporais. Redes Neurais. CNN. LSTM. Tese.

ABSTRACT

Linardi Rossi, D. **Event Recognition in Time Series using Artificial Neural Networks.** 2024. 57 p. Monograph (MBA in Artificial Intelligence and Big Data) - Instituto de Ciências Matemáticas e de Computação, Universidade de São Paulo, São Carlos, 2024.

This work aims to analyze the MEMs (Micro-Electro-Mechanical Systems), sensors and its signals, use the MEMs generated signals during specific vehicle maneuvers that were recorded by a Smartphone that was set into the vehicle, and use artificial intelligence and neural networks to classify the event types and maneuvers that were recorded.

Keywords: MEMs, Artifical Inteligence, Temporal Series, CNN, LSTM, Thesis.

LISTA DE FIGURAS

Figura 1 – Dados de sensores: acelerometros, giroscopio e magnetometro plotados no tempo (Ferreira <i>et al.</i> , 2017)	29
Figura 2 – Perceptron	30
Figura 3 – Multilayer Perceptron (MLP)	30
Figura 4 – Sensor MEMS	34
Figura 5 – Acelerometro MEMS	34
Figura 6 – Princípio fisico de funcionamento do giroscopio MEMS	35
Figura 7 – Arquitetura da construcaodo do giroscopio MEMS	35
Figura 8 – Eixos do Veiculo de acordo com a norma ISO-885-2011	39
Figura 9 – Aceleracao agressiva - sensores acelerometros lineares	42
Figura 10 – Frenagem agressiva - sensores acelerometros lineares	43
Figura 11 – Curva direita agressiva - sensores acelerometros	43
Figura 12 – Curva esquerda agressiva - sensores acelerometros	44
Figura 13 – Desbalanceamento de dados na classificacao de enventos: 1=Eventos agressivos, 0=Eventos nao agressivos	46
Figura 14 – Dados balanceados apos tratamento: 1=Eventos agressivos, 0=Eventos nao agressivos	47
Figura 15 – Valores de perda e accertividade durante o treinamento da rede neral LSTM feito em 20 epochas e com batch _s ize = 64	48
Figura 16 – Matriz de confusão resultante da LSTM	49
Figura 17 – Valores de perda e accertividade durante o treinamento da rede neral CNN-LSTM feito em 20 épocas e com batch _s ize = 16	51
Figura 18 – Matriz de confusão resultante da CNN-LSTM	52

LISTA DE TABELAS

Tabela 1 – Eventos e Amostras	38
Tabela 2 – Eventos - Inicio e Fim.	44
Tabela 3 – Sumario do Modelo da Rede Neural LSTM	48

SUMÁRIO

1	INTRODUÇÃO	23
1.0.1	Justificativa e importância:	24
1.0.2	Objetivos:	24
1.0.2.1	Objetivos Específicos:	24
1.0.3	Resultados e Impactos Esperados:	25
2	FUNDAMENTAÇÃO TEÓRICA	27
2.1	Serries temporais	28
2.2	Redes Neurais - Fundamentos	28
2.2.1	Perceptron	28
2.2.2	Multi-Layer Perceptron Networks	29
2.2.3	Back-propagation	31
2.2.4	Deep Learning - Aprendizado profundo	31
2.2.5	Redes Neurais Recorrentes	31
2.2.5.1	Arquitetura de Redes Neurais Recorrentes	32
2.3	Micro-Electromechanical Systems MEMS	33
2.3.1	Acelerometros MEMS	33
2.3.2	Giroscopio MEMS	35
3	METODOLOGIA	37
3.1	Descrição dos Dados e Amostragem	38
3.2	Avaliação do experimento	38
3.3	Procedimento de aquisição de dados	39
4	AVALIAÇÃO EXPERIMENTAL	41
4.1	Análise dos dados:	42
4.2	Treinamento da rede neural	42
4.3	Tratamento dos dados	46
4.4	Implementação das redes neurais	47
4.4.1	Rede Neural LSTM	47
4.4.1.1	Resultados Rede Neural LSTM	48
4.4.2	Rede Neural CNN-LSTM	49
4.4.2.1	Resultados Rede Neural CNN-LSTM	50
5	CONCLUSÕES	53

1 INTRODUÇÃO

Devido ao desenvolvimento de novos softwares e hardwares cada vez mais potentes e sistemas cada vez mais conectados, várias possibilidades são encontradas para a utilizando os sinais de sensores presentes nos smartphones (acelerômetros, giroscópios, GPS, etc.).

1.0.1 Justificativa e importância:

Um exemplo é a utilização de redes neurais para classificar situações de direção de automóveis baseadas em sinais de sensores de aceleração aquisitados de um smartphone.

Identificada uma situação específica de direção (frenagem, aceleração, curvas, etc.) será possível conectar outros tipos de sensores e ou equipamentos, bem como o próprio smartphone, que poderão utilizar estas informações para criar novas aplicações úteis ao usuário.

Exemplos podem ser, alarmes em caso de acidentes, onde o smartphone pode, de maneira autônoma, efetuar uma chamada ao hospital ou ao departamento de polícia,

1.0.2 Objetivos:

O objetivo principal é criar uma rede neural, a ser executada por um aplicativo rodando em um smartphone, que seja capaz, através da utilização dos sinais dos sensores de aceleração e giroscópios, identificar situações de direção de um veículo.

Parado, acelerando, freando, curvas a esquerda/direita,

1.0.2.1 Objetivos Específicos:

1. Estudar os sinais dos sensores MEMS aquisitados pelo smartphone: acelerômetros, giroscópio e campo magnético.
2. Associar estes sinais a situações específicas de direção.
3. Estudar redes neurais artificiais e como uma rede neural artificial pode ser treinada para reconhecer um evento específico.
4. Estudar como esta rede neural pode depois ser implementada em um aplicativo de celular ou em um equipamento embarcado onde os recursos computacionais são escassos e limitados quando comparados a um computador pessoal cluster no qual a rede neural foi primeiramente implementada.
5. Estudo e aprendizado: o estudo das tecnologias de aprendizado de máquinas, redes neurais, aprendizado profundo, tratamento de dados. A metodologia é analisar e estudar os dados disponíveis e aplicar inteligência computacional e realizar a classificação de situações de frenagem e aceleração bruscas. Os diferentes tipos de aprendizado: supervisionado, não supervisionado e por reforço, devem ser compreendidos e utilizados caso necessários.

6. Implementação do algoritmo: Serão estudados alguns algoritmos que sejam capazes de realizar os trabalhos de predição e seleção necessários. Dentre esses serão considerados inicialmente: Regressão Linear, Regressão Polinomial, K-means, Árvores de Decisão [2]. Com esse estudo será possível determinar qual ou quais algoritmos são melhores para a resolução desse problema.
7. Avaliação qualitativa e quantitativa: Para avaliarmos quantitativamente o resultado desse trabalho vamos utilizar métricas estatísticas já conhecidas como: Acurácia, F1 Score e Precisão.
8. Testes e Ajustes: Após a identificação dos possíveis ajustes, é importante que tais ajustes sejam de fato implementados e uma nova avaliação seja feita em um cenário real, sendo assim após os ajustes necessários para que consigamos uma melhor qualidade nos indicadores de avaliação,
9. Implementação do sistema: O algoritmo será implementado em um computador pessoal poderá futuramente ser executado em um aplicativo em um smartphone.

1.0.3 Resultados e Impactos Esperados:

É esperado que o algoritmo consiga reconhecer/classificar as diferentes situações de direção do veículo, e com isso outros dispositivos/algoritmos possam utilizar esta informação.

2 FUNDAMENTAÇÃO TEÓRICA

2.1 Séries temporais

Em matemática, uma série temporal é um conjunto de números indexados (ou representados em um gráfico) em ordem de tempo. Mais comumente, uma sequência de tempo discreto é uma série temporal constituída de dados adquiridos em um intervalo constante de tempo. Exemplos de séries temporais são dados de temperatura, pressão e aceleração coletados de um sistema.

Uma série temporal é frequentemente plotada em um gráfico cujo eixo x representa uma definida unidade de tempo. As séries temporais são usadas em estatística, processamento digital de sinais, reconhecimento de padrões, matemática financeira, engenharia de controle, comunicações, etc.

A figura 1 mostra dados adquiridos de sensores de um smartphone colocado dentro de um veículo. O veículo realiza uma manobra na qual muda para uma à esquerda de maneira agressiva (Ferreira *et al.*, 2017).

2.2 Redes Neurais - Fundamentos

2.2.1 Perceptron

A forma mais básica de uma rede neural é o perceptron, mostrado na figura 2, que é a representação artificial de um neurônio que possui três componentes importantes: os dendritos, o corpo celular e o axônio. Este modelo foi proposto em 1958 por Frank Rosenblatt (Rosenblatt, 1958), um psicólogo que desenvolveu o algoritmo para ajustar os pesos da rede e provou sua convergência.

É importante ressaltar a existência de um peso (bias), que serve para aumentar os graus de liberdade, permitindo assim uma melhor adaptação da função neuronal.

O perceptron é um classificador binário, que é capaz de possuir várias variáveis de entrada, ou seja, um vetor de entrada. Este neurônio artificial pode aprender através de diferentes valores de entrada (vetores de entrada), gerando apenas uma resposta binária de classificação.

O aprendizado é o processo pelo qual os parâmetros livres de uma rede neural são adaptados por meio de um processo de estímulo pelo ambiente. O tipo de aprendizado é definido pela maneira com que acontecem as mudanças nos parâmetros.

Toda a vez que ele é treinado, os pesos podem variar a gerar o mesmo resultado na saída. Isto nos leva a termos um problema com várias soluções. Os componentes básicos do perceptron são: entradas, pesos, função de ativação e saída, onde os pesos são os principais componentes. Vale salientar que o perceptron só funciona para problemas linearmente separáveis.

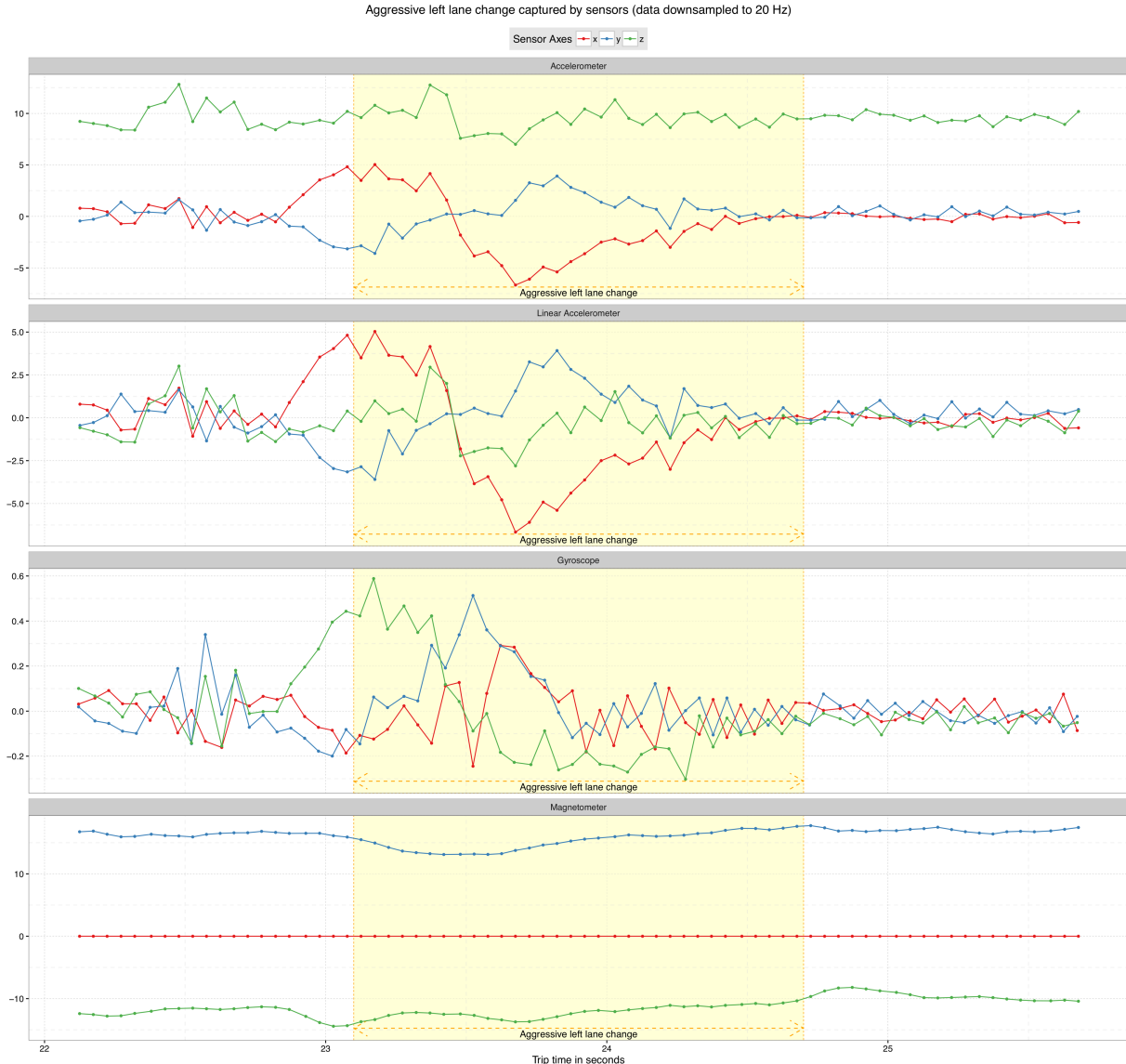


Figura 1 – Dados de sensores: acelerometros, giroscopio e magnetometro plotados no tempo (Ferreira *et al.*, 2017).

2.2.2 Multi-Layer Perceptron Networks

Multi-Layer Perceptrons (MLP) são caracterizadas pela presença de pelo menos uma camada intermediária, como mostrado na figura 3. Uma rede neural para ser considerada multi-layer, deve ter, no mínimo, duas camadas. O algoritmo de aprendizado de uma MLP é chamado de algoritmo Back-Propagation.

MPLs superam as limitações práticas do Perceptron. O modelo de cada neurônio inclui uma função de ativação não linear e diferenciável e contém uma ou mais camadas escondidas/ocultas entre a camada de entrada e a camada de saída. MPLs possuem alto grau de conectividade

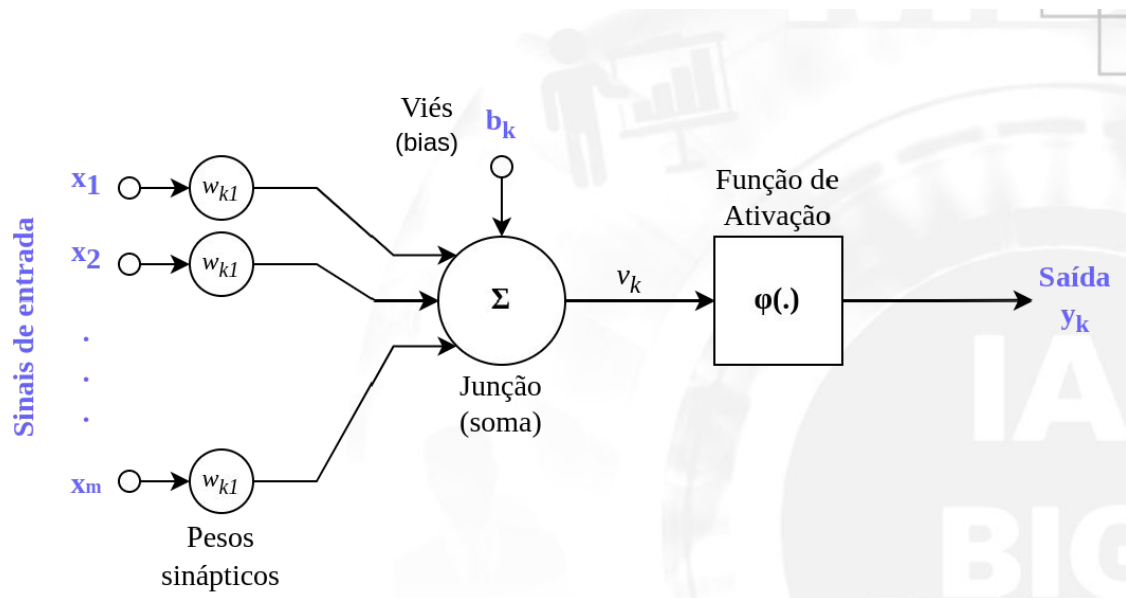


Figura 2 – Perceptron

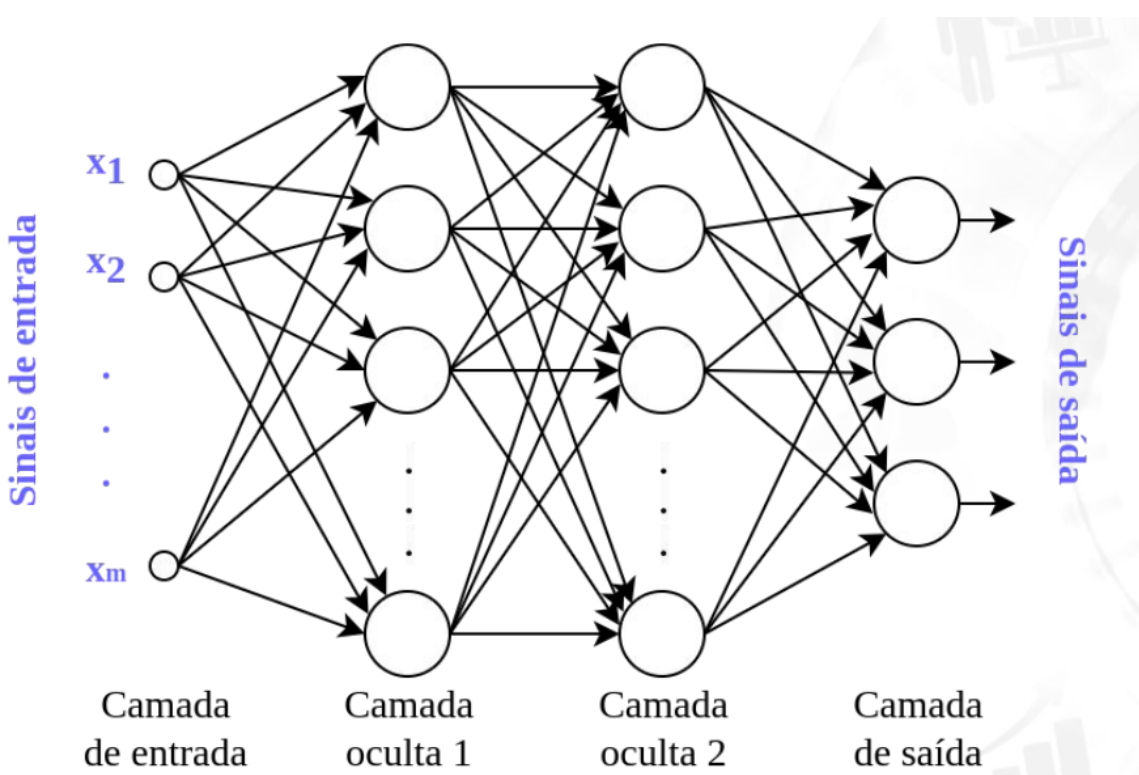


Figura 3 – Multilayer Perceptron (MLP)

2.2.3 Back-propagation

Para compreender o algoritmo de Back-propagation é necessário compreender as sucessivas fases que o compõem, que são Forward phase e Backward phase.

Durante a Forward phase os pesos são fixos e o sinal é propagado através da rede, camada por camada, até a saída. Mudanças só ocorrem nos potenciais de ativação e nas saídas dos neurônios da rede.

Já o aprendizado é feito na Backward phase. O sinal de erro produzido comparando a saída desejada com a obtida. O erro é retropropagado através da rede, camada por camada, ajustando assim os pesos sinápticos da rede.

Na Backward phase, um cálculo matemático é realizado para ajustar os pesos, podendo ser através de derivadas parciais, erro dos mínimos quadrados ou entropia cruzada.

2.2.4 Deep Learning - Aprendizado profundo

Deep learning, ou aprendizado profundo, é o subconjunto de métodos de aprendizado de máquina baseado em redes neurais artificiais. O adjetivo "profundo" se deve ao fato do uso de múltiplas camadas na rede. Os métodos usados podem ser supervisionados, semi-supervisionados e não supervisionados (LeCun; Bengio; Hinton, 2015).

Arquiteturas de redes de aprendizado profundo, redes neurais recorrentes, redes neurais convolucionais e transformers, têm sido aplicadas em vários campos, como visão computacional, reconhecimento de fala, processamento de linguagem natural, tradução automática, etc., onde os resultados obtidos são comparáveis ou superiores, em alguns casos, aos resultados obtidos por humanos.

2.2.5 Redes Neurais Recorrentes

Uma Rede Neural Recorrente (RNNs) é um tipo de rede neural artificial que utiliza dados sequenciais ou séries de dados temporais. Estes algoritmos são comumente usados, por exemplo, no processamento de vídeo e processamento de linguagem. Assim como as redes feedforward e redes convolucionais, as redes neurais recorrentes utilizam dados de treinamento para aprenderem. Elas são distinguidas por sua "memória" assim que utilizam informações de dados de entrada anteriores para influenciar a entrada e a saída atuais.

Enquanto redes neurais profundas tradicionais assumem que entradas e saídas são independentes entre si, a saída de uma rede neural recorrente depende dos elementos passados da sequência de dados que serve de entrada para essa rede (IBM, 2024), (Cala, 2019).

2.2.5.1 Arquitetura de Redes Neurais Recorrentes

Redes neurais recorrentes bi-direcionais (BRNN): Esta é uma arquitetura variante de RNNs. Enquanto RNNs unidirecionais podem somente se basear em entradas previas para realizar predicoes sobre o estado corrente, redes neurais recorrentes bidirecionais utilizam dados futuros para melhorar a sua acuracia.

Long short-term memory (LSTM): Esta é uma arquitetura comumente usada, que foi introduzida por Hochreiter e Juergen Schmidhuber como a solucao para acabar com o problema do gradiente (Hochreiter; Schmidhuber, 1997). Esta architetura endereca o problema de dependencias de long-term, isto é, se o estado previo que esta influenciando a predicao atual nao esta situado em um passado recente, o modelo da RNN nao sera capaz de prever o estado atual acuradamente.

Gated recurrent units (GRUs): Esta arquitetura de RNN é similar a LSTMs. Foram introduzidas em 2014 por Kyunghyun Cho et al(Cho *et al.*, 2014). A GRU é como uma LSTM com um mecanismo de gating para introduzir ou desconsiderar algumas funcoes, mas nao possui um vetor de contexto ou um gate de saida, resultando em um numero menor de parametros quando comparada a uma LSTM. Ela tambem trabalha para solucionar o problema de memoria de short-term.

Conforme demonstrado em (Chung *et al.*, 2014) as redes LSTMs (Long Short-Term Memory) sao indicadas para a classificacao de eventos em series temporais por varias razoes:

Habilidade de capturar as dependencias de tempos longos: LSTMs sao projetadas para capturar dependencias de tempos longos em dados sequenciais, assim elas sao indicadas para a classificacao de eventos onde a relacao entre dados atraves do tempo sao importantes.

Capacidade de lidar com sequencias de tempo variavel: LSTMs podem lidar com sequencias de entrada de comprimento variavel, o que é comum em series temporais. onde o comprimento dos eventos pode variar.

Memoria de informacoes passadas: LSTMs possuem uma celula de memoria que pode armazenar informacoes passadas, possibilitando-as reter contextos importantes de dados passados contidos nas series temporais.

Sao robustas a ruidos e dados incompletos: LSTMs sao robustas ao ruido e a dados incompletos se sao comuns em series temporais, tornando-as adequadas para tratar dados reais.

Habilidade de aprender padroes complexos: LSTMs sao capazes de aprender padroes complexos e relacionamentos dentro das series temporais, fazendo-as efetivas para capturar a dinamica intricada de series temporais.

No geral, as LSTMs sao muito adequadas par a classificacao em series temporais

devido a sua capacidade de capturar dependencias de long-term, tratar sequencias de tempo variaveis, relembrar informacoes passadas e aprender padroes complexos existentes nos dados.

Já as CNNs (Convolution Neural Network) são efetivas em capturar padroes em eventos espaciais e temporais. No contexto de dados gerados a partir de acelerômetros, as CNNs podem aprender a extrair aspectos relevantes das series de dados. As camadas convolucionais da CNN podem processar eficientemente sequencias de dados geradas por sensores.

A combinação CNN-LSTM pode ser benéficial para capturar tanto as dependencias locais quanto as globais em uma serie temporal. A CNN pode ser usada para a extração de características e redução de dimensionalidade, enquanto a LSTM pode efetivamente modelar a dinâmica temporal e as dependencias de long-term dentro das sequencias.

2.3 Micro-Electromechanical Systems MEMS

Sistemas micro-eletromecânicos (MEMS) são componentes de tamanho microscópico que incorporam tanto eletrônica quanto partes mecânicas moveis. MEMS são feitos a partir de componentes que tem em torno de 1 a 100 micrômetros. Usualmente consistem em uma unidade central de processamento (um circuito integrado como um microprocessador) e vários componentes que interagem com o meio ambiente, como microsensores (Gabriel *et al.*, 1988).

OS MEMS começaram a ser fabricados usando tecnologias de fabricação de semicondutores, normalmente usadas em eletrônica. Isso inclui técnicas como molding, plating, wet etching (KOH, TMAH) e dry etching (RIE and DRIE), electrical discharge machining (EDM), e outras tecnologias capazes de fabricar pequenos componentes (??). A figura ?? mostra um exemplo de MEMS utilizado no setor automotivo.

Existem 2 tipos básicos de tecnologia MEMS: capacitiva e resistiva. MEMS capacitivos são compostos por placas que se movem ou elementos sensíveis, que mudam de capacidade. MEMS resistivos são controlados eletrostaticamente, e podem falhar por fadiga, pois seus componentes podem se deformar com o uso.

2.3.1 Acelerômetros MEMS

Acelerômetros MEMS capacitivos detectam a aceleração explorando o movimento de uma massa sismica. O movimento dessa estrutura mecânica, que afasta e aproxima placas capacitivas, assim alterando a capacidade do circuito ao qual o componente está conectado. A figura 5 mostra um acelerômetro MEMS, suas estruturas eletromecânicas assim como o diagrama do circuito em que é conectado.

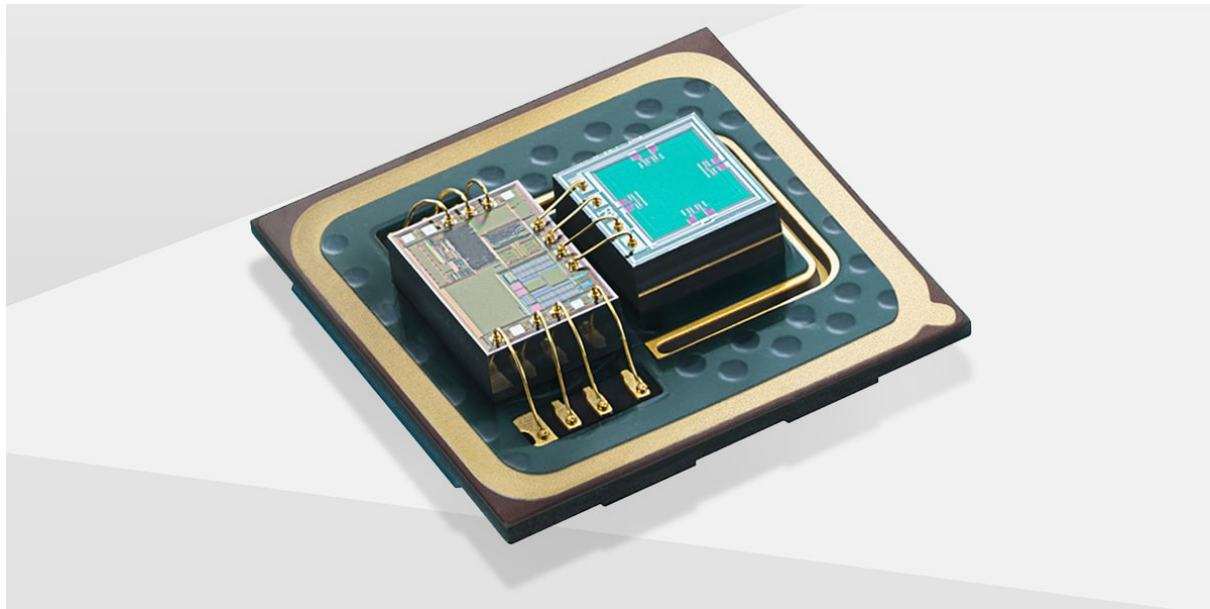


Figura 4 – Sensor MEMS

(Bosch, 2025)

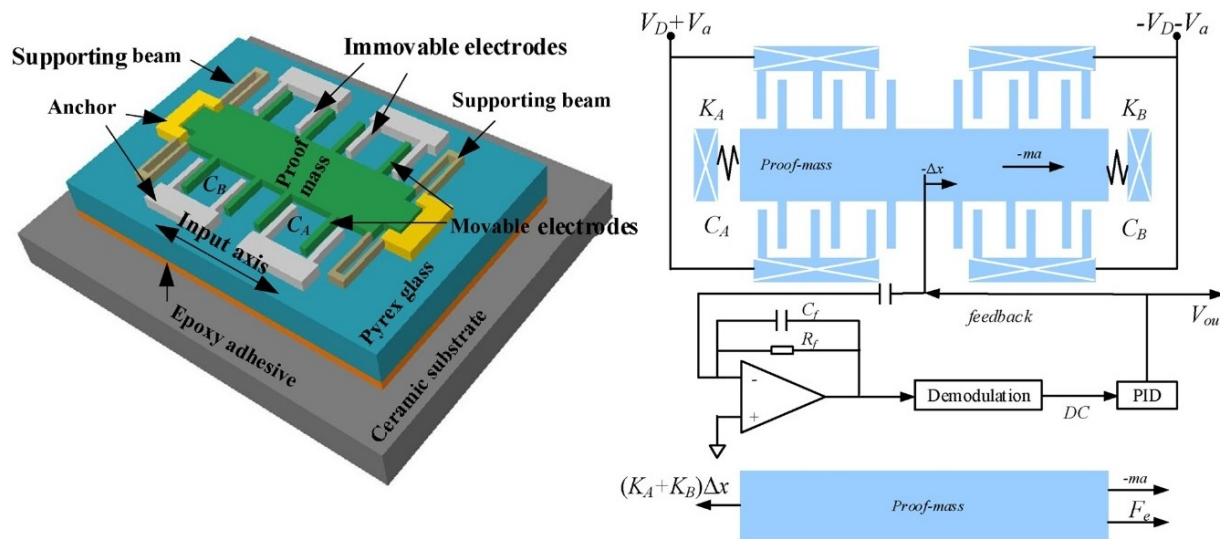


Figura 5 – Acelerometro MEMS

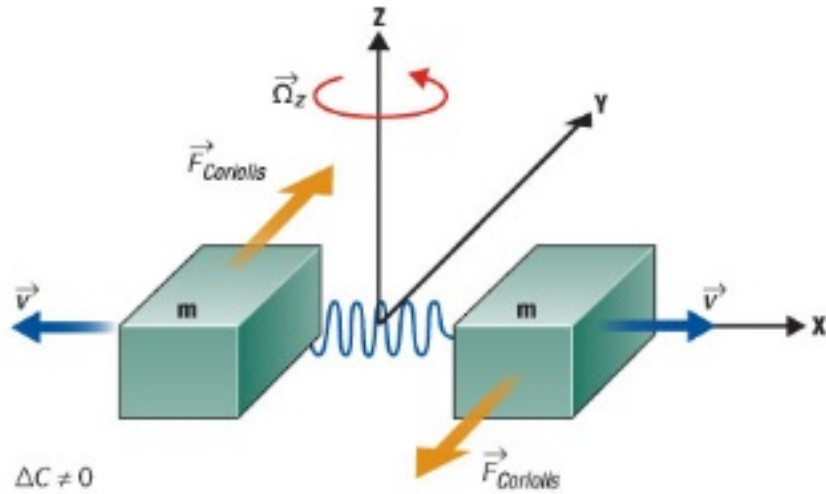


Figura 6 – Princípio fisico de funcionamento do giroscopio MEMS

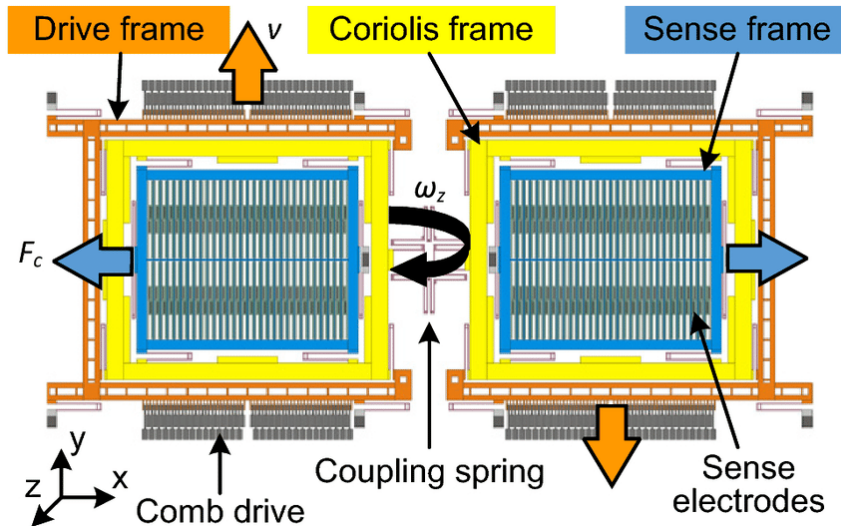


Figura 7 – Arquitetura da construcaodo do giroscopio MEMS

2.3.2 Giroscopio MEMS

Em sua configuracao mais comum, silício é usado para fabricar um par de massas, que sao submetidas a uma oscilacao, causada por campos eletricos. Estes campos eletricos oscilantes fazem com que as massas oscilem constantemente em direcoes opostas, conforme mostrado na figura 6. Quando uma velocidade angular é aplicada, o efeito de Coriolis afeta cada massa tambem em direcoes opostas, o que resulta em uma mudanca de capacitancia entre elas. Esta mudanca é o que principio do funcionamento do sensor. Quando as duas massas sao submetidas apenas a aceleracao linear, elas se movem na mesma direcao, nao ocasionando mudanca na capacitancia entre elas.

A fig mostra 7 a arquitetura da construcao de um giroscopio MEMS (Willers *et al.*, 2020)

3 METODOLOGIA

Tipo de manobra	Amostras
Frenagem agressiva	12
Aceleracao agressiva	12
Curva agressiva a esquerda	11
Curva agressiva a direita	11
Troca de faixa agressiva a esquerda	4
Troca de faixa agressiva a direita	5
Eventos nao agressivos	14
Total	69

Tabela 1 – Eventos e Amostras

3.1 Descricao dos Dados e Amostragem

O objetivo do trabalho é o de treinar uma rede neural a fim de reconhecer padroes de manobras de um veiculo, com base em sinais de sensores coletados de um smartphone.

A base deste trabalho sera a que foi apresentada em (Ferreira *et al.*, 2017), na qual coleta de dados foi realizada. Os mesmos dados serao utilizados para o treinamento e teste da rede neural.

Os dados foram coletados utilizando um Motorola XT1058 com Android versao 5.1; e um veiculo Hoda Civic 2011. Mais informacoes sobre a coleta de dados podem ser encontradas na descricao destes

Os dados serao organizados a partir dos eventos e sensores disponiveis.

3.2 Avaliacao do experimento

Como mostrado em (Ferreira *et al.*, 2017) os melhores resultados foram obtidos utilizando o acelerometro e o giroscopio, portanto inicialmente somente os dados gerados por estes 2 sensores serao utilizados.

Os dados de sensores utilizados serao os do acelerometro (Acc), acelerometro linear (LinAcc) e o giroscopio (Gyr). Conforme mostrado na seccao anterior, o acelerometro mede a aceleracao que foi aplicada no veiculo em metros por segundo ao quadrado (m/s^2), incluindo a forca da gravidade. O giroscopio mede a taxa de rotacao em relacao aos eixos do veiculo em radianos por segundo (rad/s). Estes sensores fornecem uma serie temporal em 3 dimensoes (x,y e z) com uma precisao de naosegundos, relativos ao sistema de coordenadas do veiculo.

Os eixos dos sensores (x, y, z) tambem serao avaliados. No sistema de coordenadas definido pela norma ISO-885-2011, os eixos do veiculo definem as direcoes de velocidade, aceleracao e rotacao. Os eixos podem ser vistos na figura 8

Os dados estao distribuidos em grupos que includem os tres eixos, somente eixo x,

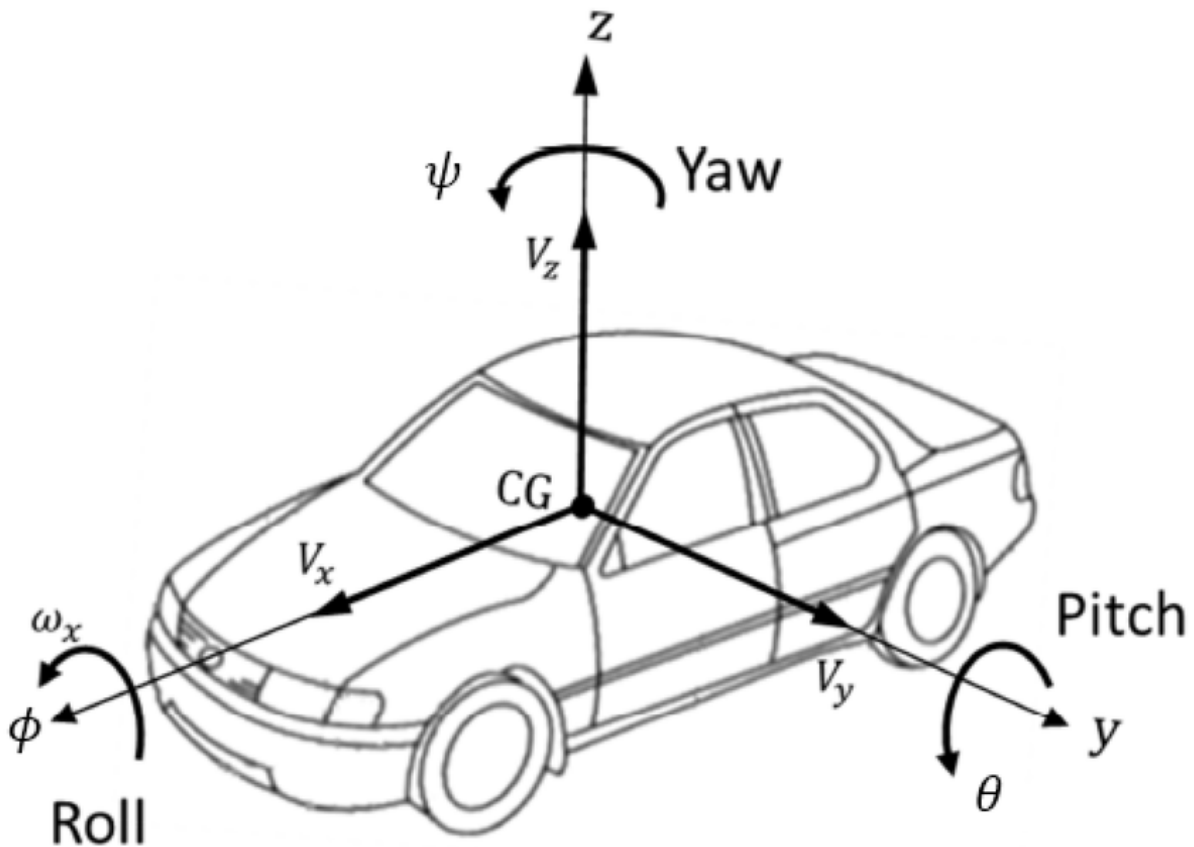


Figura 8 – Eixos do Veiculo de acordo com a norma ISO-885-2011

somente eixo y e somente eixo z. Por exemplo, os dados do acelerometro se originam dos data-sets com os tres eixos, acelerometro x, acelerometro y e acelerometro z.

Os dados brutos coletados sao compostos basicamente de valores de 3 eixos e um timestamp de precisao de nanosegundos, que indica o tempo em que a amostra foi coletada. Os dados brutos nao sao os dados de entrada para os classificadores da rede neural. Os dados sera agrupados em conjuntos de amostras de 1 segundo, compondo frames que depois originaral vetores de atributos. A medida que sao analisados, a janela de tempo é atualizada sobre a serie temporal. O tamanho da janela dependera do tempo que o evento de direcao foi realizado, como mostrado na tabela 1.

3.3 Procedimento de aquisicao de dados

Os dados foram coletados em um experimento real, onde um aplicativo executado smartphone com o sistema operacional Android foi utilizado. Durante o experimento um motorista executou manobras especificas. O tempos nos quais as manobras foram realizadas tambem foram gravados.

Ao todo, 4 viagens foram realizadas, cada uma com aproximadamente 13 minutos

de duracao. As condicoes do experimento foram: (i) o veiculo era um Honda Civic 2011; (ii) o smartphone era um Motorola XT1058 com Android versao 5.1; (iii) o smartphone foi fixado ao para-brisa do carro atraves de um suporte, e nao foi tocado, movimentado ou operado durante a aquisicao dos dados; (iv) a frequencia de aquisicao dos sensores variou entre 50 e 100Hz, dependendo do sensor; (v) dois motoristas, com mais de 15 anos de experiencia executaram as manobras; e (vi) as condicoes climaticas eram favoraveis, com sol e pista asfaltada e seca.

O proposito foi o de estabelecer um conjunto de eventos que representao situacoes reais de direcao tais como frenagem, aceleracao, curvas e trocas de faixa, conforme descrito na tabela 1.

4 AVALIAÇÃO EXPERIMENTAL

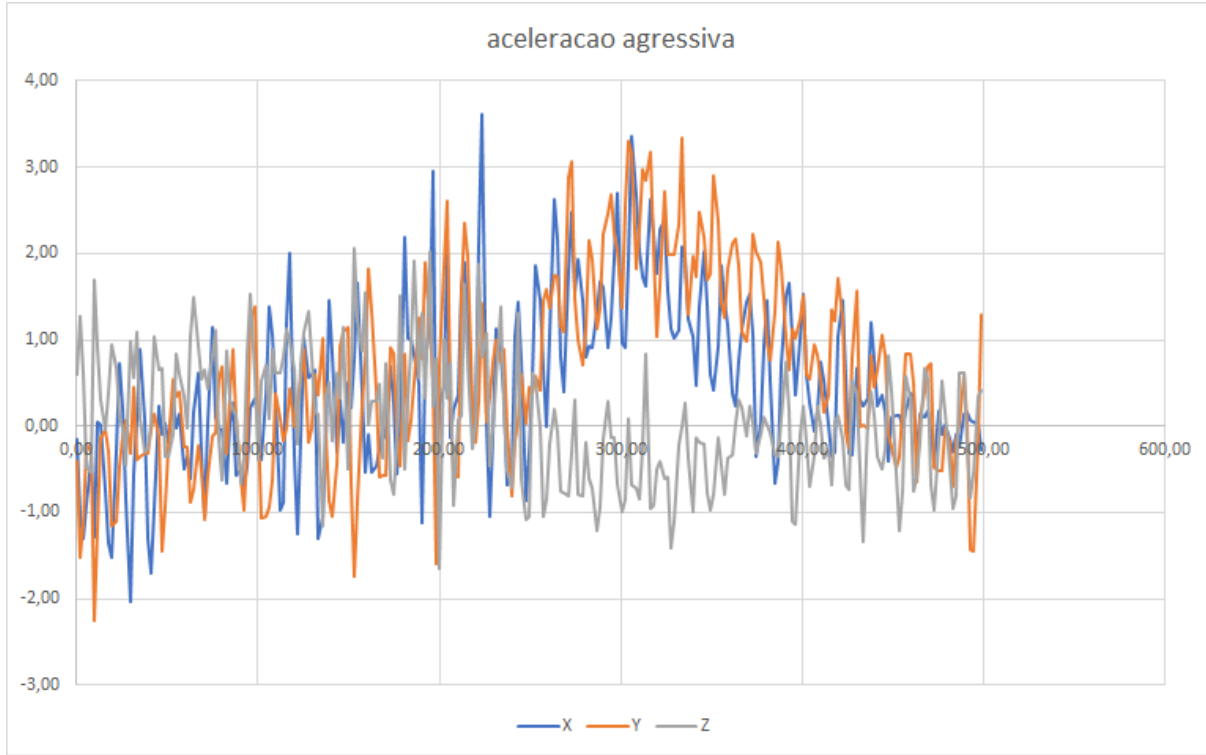


Figura 9 – Aceleracao agressiva - sensores acelerometros lineares

4.1 Análise dos dados:

Os dados estão sendo analisados conforme os eventos descritos na tabela 1.

Como mostrado na figura 8, durante as manobras de frenagem e aceleracao, os sinais dos acelerometros lineares, principalmente do eixo x, e do giroscopio, eixo y, são os mais proeminentes nas medidas, como mostrado nas figuras 9 e 10

Durante as curvas, a direita e a esquerda, ambas realizadas de maneira agressiva, os sinais mais proeminentes são os dos giroscopio, como podemos verificar nas figuras 11 e 12.

Os dados foram divididos por eventos, conforme a tabela 1, onde cada data set possui uma duração de 3 a 5 segundos, dependendo do tempo de cada evento.

Os dados amostrados foram disponibilizados em 4 data sets, onde vários eventos foram reunidos. Estes dados foram filtrados de acordo com as informações disponíveis para cada evento, conforme mostrado em tabelas como a tabela

4.2 Treinamento da rede neural

Os dados estão sendo trabalhados, e visualizados através da biblioteca NumPy e Matplotlib.

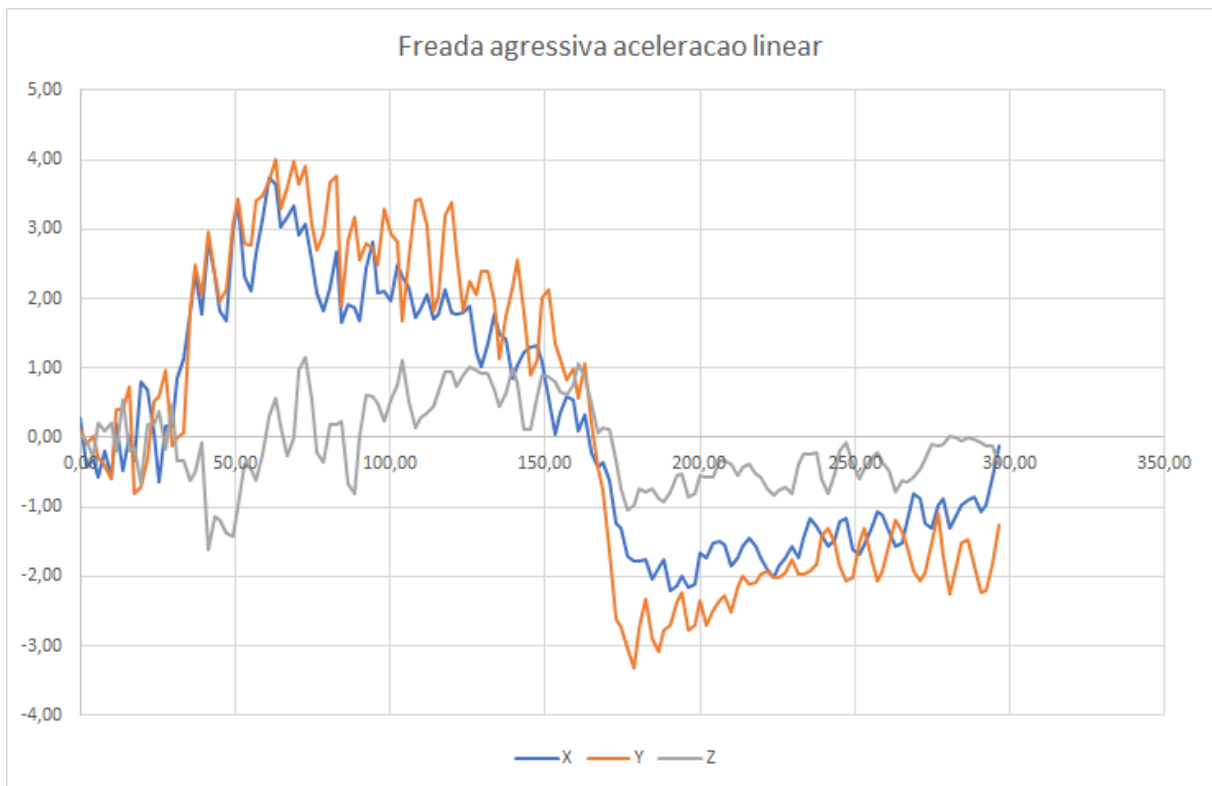


Figura 10 – Frenagem agressiva - sensores acelerometros lineares

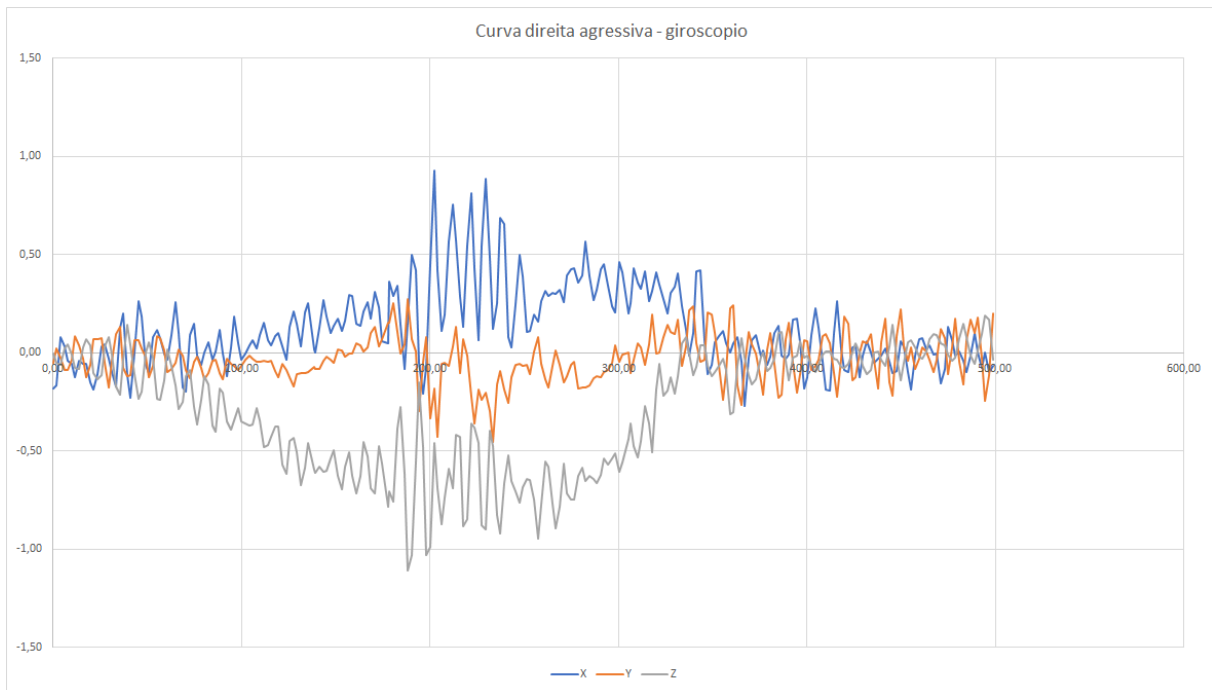


Figura 11 – Curva direita agressiva - sensores acelerometros

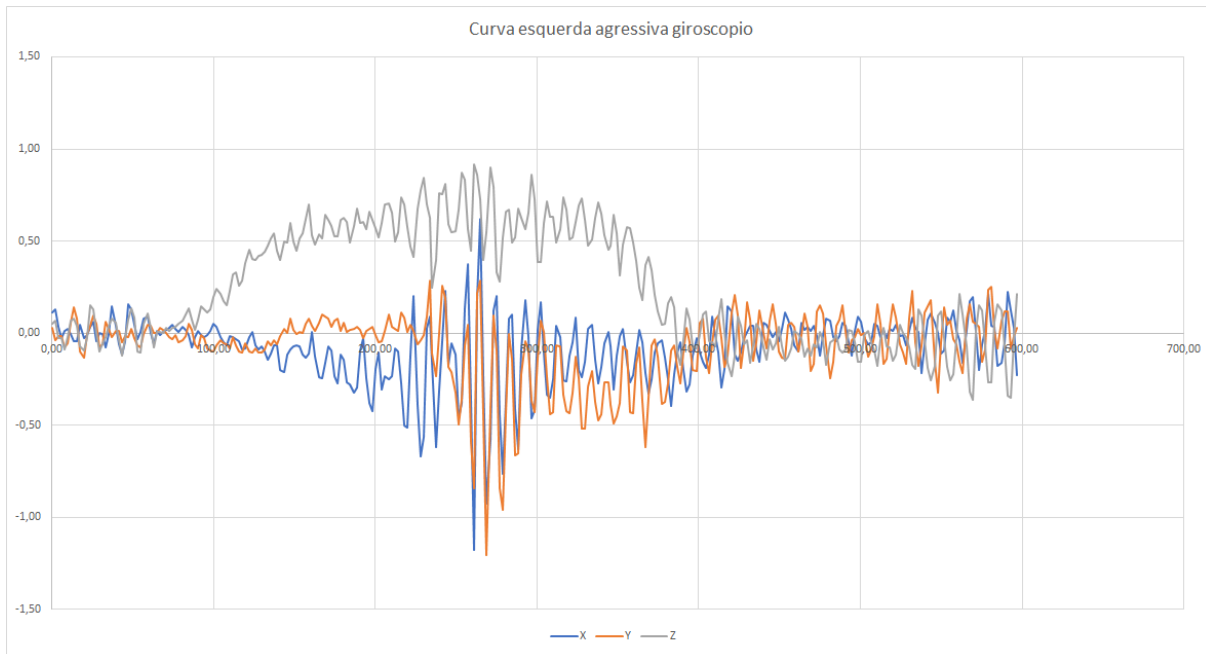


Figura 12 – Curva esquerda agressiva - sensores acelerometros

Evento	Início[s]	Fim[s]
evento_nao_agressivo	2,00	6,50
curva_direita_agressiva	19,50	23,50
evento_nao_agressivo	30,00	33,50
curva_direita_agressiva	95,00	98,00
curva_esquerda_agressiva	247,00	251,50
curva_esquerda_agressiva	348,70	352,30
evento_nao_agressivo	485,00	489,00
curva_esquerda_agressiva	496,00	499,50
curva_direita_agressiva	587,00	590,00
curva_esquerda_agressiva	750,00	753,80
curva_direita_agressiva	840,70	844,00
curva_direita_agressiva	980,00	983,20
curva_esquerda_agressiva	1087,40	1090,90
troca_faixa_direita_agressiva	1139,80	1142,00
troca_faixa_direita_agressiva	1201,00	1202,90
troca_faixa_direita_agressiva	1211,40	1213,50

Tabela 2 – Eventos - Inicio e Fim.

Os dados deverão ser lidos, e como diferentes escalas não são ideais para redes neurais, mas primeiro deverão ser normalizados, pois cada sensor tem um sinal e diferente (baseando somente em acelerômetros e giroscópio).

Após a preparação dos dados, o modelo de rede neural está sendo construído, e deverá ser treinado com 80 porcento dos dados disponíveis, e testado com os 20 porcento restantes.

Os resultados e avaliações serão através dos testes de acurácia e perda (loss).

As atividades estão em andamento e serão apresentadas na conclusão e apresentação deste trabalho.

4.3 Tratamento dos dados

Durante a implementação, foi constatado que a quantidade de amostras para cada evento era insuficiente para que um aprendizado da rede fosse bem-sucedido.

O número total de eventos disponíveis consta em 65, sendo estes distribuídos conforme indicado na tabela 1. Foi decidido que todos os eventos agressivos seriam agrupados em uma única classe, treinando assim a rede neural a identificar um evento agressivo, sem que este seja especificado em um tipo específico de manobra.

Conforme mostrado na figura 13, os dados originais utilizados se encontravam desbalanceados, pois o tempo de amostragem de direção onde nenhum evento acontece superava em muito o tempo de amostragem dos eventos agressivos.

Para o balanceamento dos dados, um data frame contendo eventos repetidos foi construído para que o número tempo de amostragem de eventos agressivos fosse equiparável ao tempo de eventos não agressivos ou apenas um estado de direção normal.

O resultado dos dados平衡ados e mostrado na figura 14

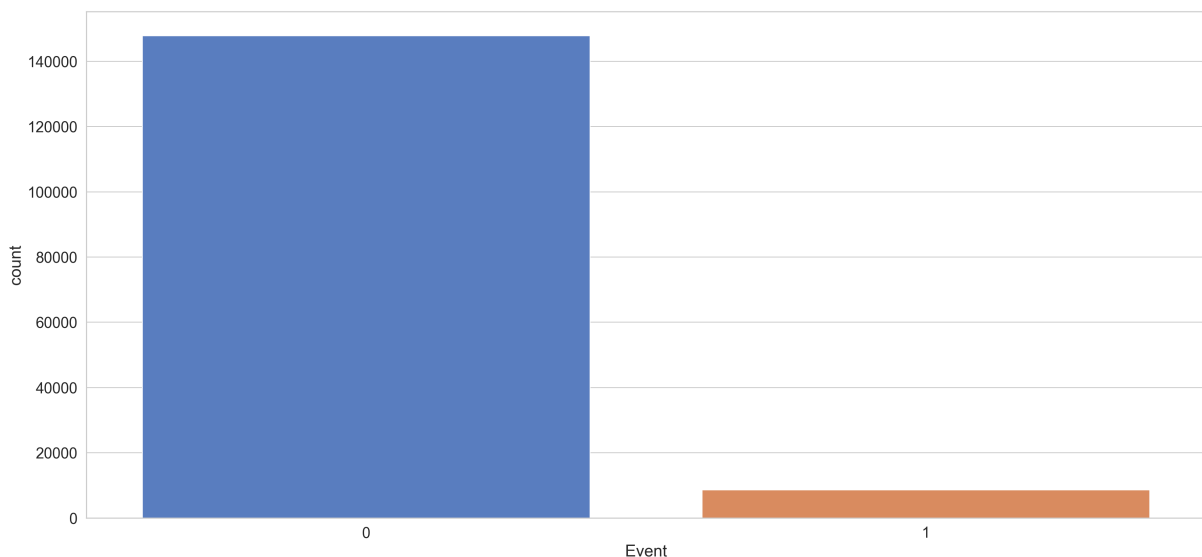


Figura 13 – Desbalanceamento de dados na classificacao de enventos: 1=Eventos agressivos, 0=Eventos nao agressivos

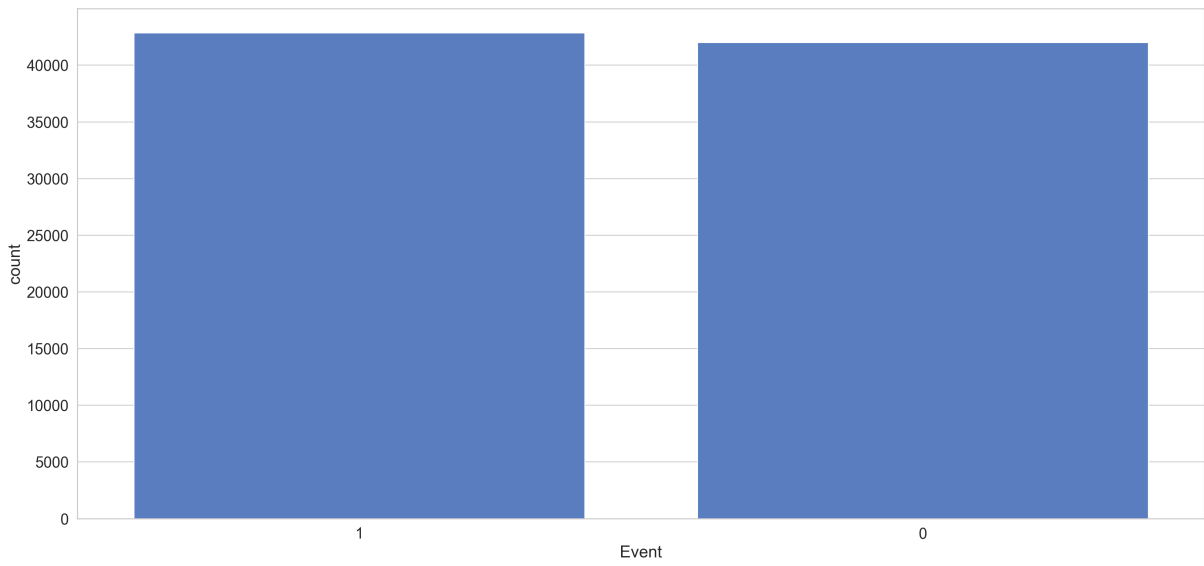


Figura 14 – Dados balanceados apos tratamento: 1=Eventos agressivos, 0=Eventos nao agressivos

4.4 Implementacao das redes neurais

4.4.1 Rede Neural LSTM

O primeiro teste foi feito com uma rede neural LSTM.

O código de implementação dessa rede:

```

model_LSTM = keras.Sequential()
model_LSTM.add(
    keras.layers.Bidirectional(
        keras.layers.LSTM(
            units=128,
            input_shape=[X_train.shape[1], X_train.shape[2]]
        )
    )
)
model_LSTM.add(keras.layers.Dropout(rate=0.5))
model_LSTM.add(keras.layers.Dense(units=128, activation='relu'))
model_LSTM.add(keras.layers.Dense(y_train.shape[1], activation='softmax'))
model_LSTM.compile(loss='binary_crossentropy', optimizer='adam', metrics=['accuracy'])

# Model berichtet anzeigen
model_LSTM.summary()

```

Layer (type)	Output Shape	Param
bidirectional (Bidirectional)	(None, 256)	135,168
dropout (Dropout)	(None, 256)	0
dense (Dense)	(None, 128)	32,896
dense_1 (Dense)	(None, 2)	258

Tabela 3 – Sumario do Modelo da Rede Neural LSTM

A tabela 3 mostra o sumario da rede implementada apos o treinamento.

4.4.1.1 Resultados Rede Neural LSTM

A figura 15 mostra os resultados de treinamento e perda da rede neural.

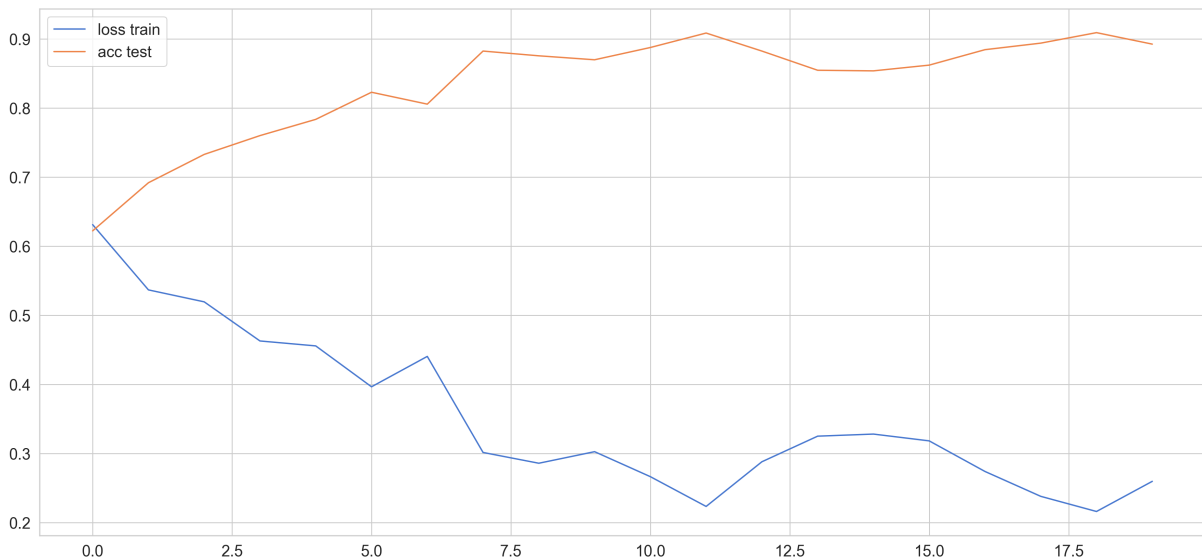


Figura 15 – Valores de perda e accertividade durante o treinamento da rede neral LSTM feito em 20 epochas e com batch_size = 64

A figura 16 mostra o resultado da matriz de confusão obtida através da LSTM.

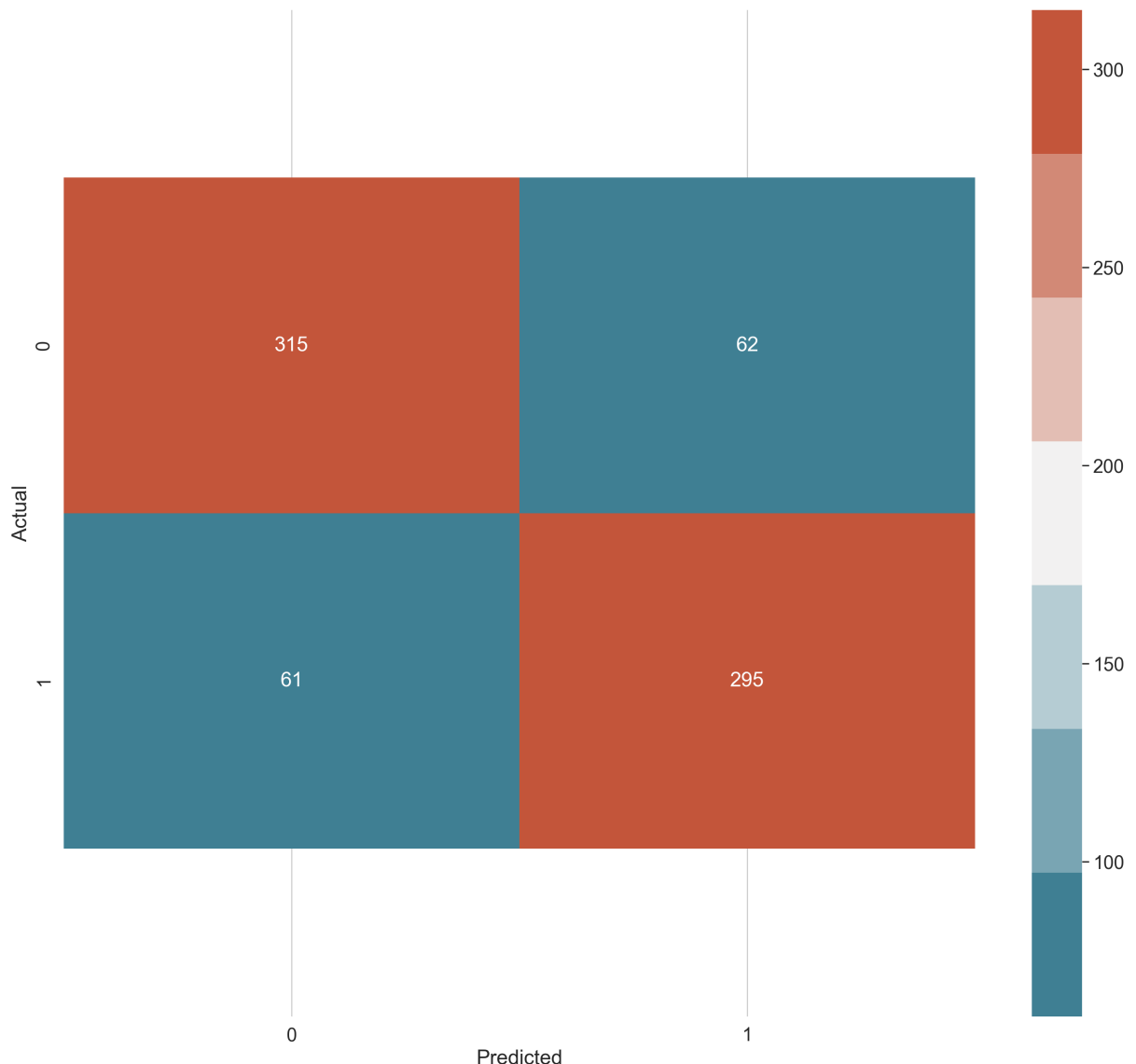


Figura 16 – Matriz de confusão resultante da LSTM

4.4.2 Rede Neural CNN-LSTM

O segundo teste foi feito com uma rede neural CNN-LSTM.

O código de implementação dessa rede:

```
import tensorflow as tf
from tensorflow.keras.models import Sequential
from tensorflow.keras.layers import Conv1D, MaxPooling1D, Flatten, LSTM,
from tensorflow.keras.optimizers import Adam

# Daten erstellen
time_units = 200
```

```
num_features = 3

# Modell initialisieren
model_CNN_LSTM = Sequential()

# Erste CNN-Ebene
model_CNN_LSTM.add(Conv1D(32, 3, activation='relu', input_shape=(time_units,
model_CNN_LSTM.add(MaxPooling1D(2))

# Zweite CNN-Ebene
model_CNN_LSTM.add(Conv1D(64, 3, activation='relu'))
model_CNN_LSTM.add(MaxPooling1D(2))

# LSTM-Ebene
model_CNN_LSTM.add(LSTM(200, activation='relu'))

# Ausgabeebene
model_CNN_LSTM.add(Dense(2, activation='sigmoid'))

# Modell kompilieren
# Optimizer mit reduzierter Lernrate und Gradient Clipping
optimizer = Adam(learning_rate=0.00005, clipnorm=1.0) #0.00001
model_CNN_LSTM.compile(optimizer=optimizer, loss='binary_crossentropy', metrics=[])

# Modell bersicht anzeigen
model_CNN_LSTM.summary()
```

4.4.2.1 Resultados Rede Neural CNN-LSTM

A figura 17 mostra os resultados de treinamento e perda da rede neural.

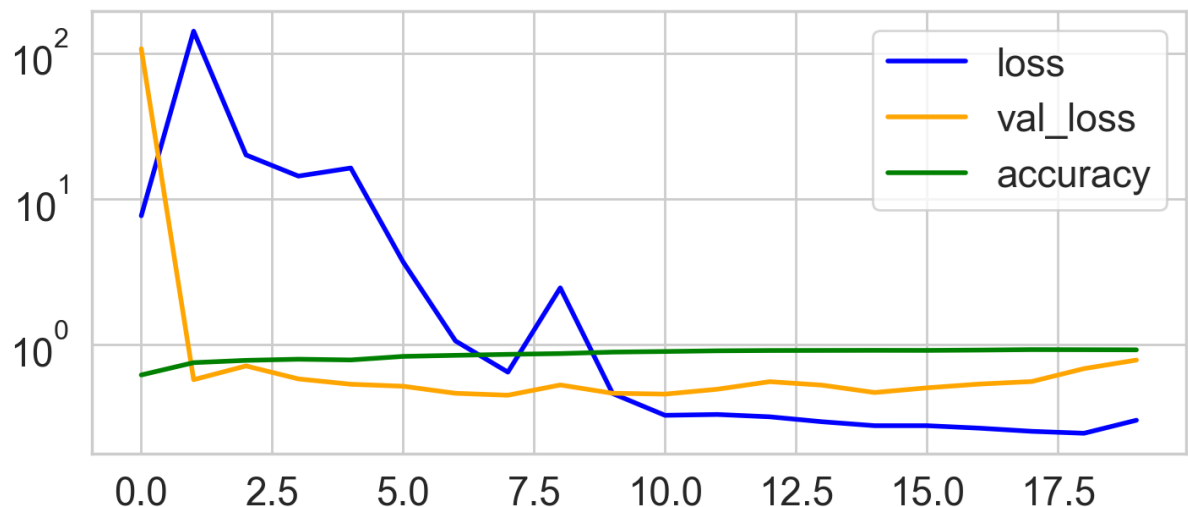


Figura 17 – Valores de perda e accertividade durante o treinamento da rede neral CNN-LSTM feito em 20 épocas e com $batch_size = 16$

A figura 18 mostra o resultado da matriz de confusão obtida atraves da CNN-LSTM.

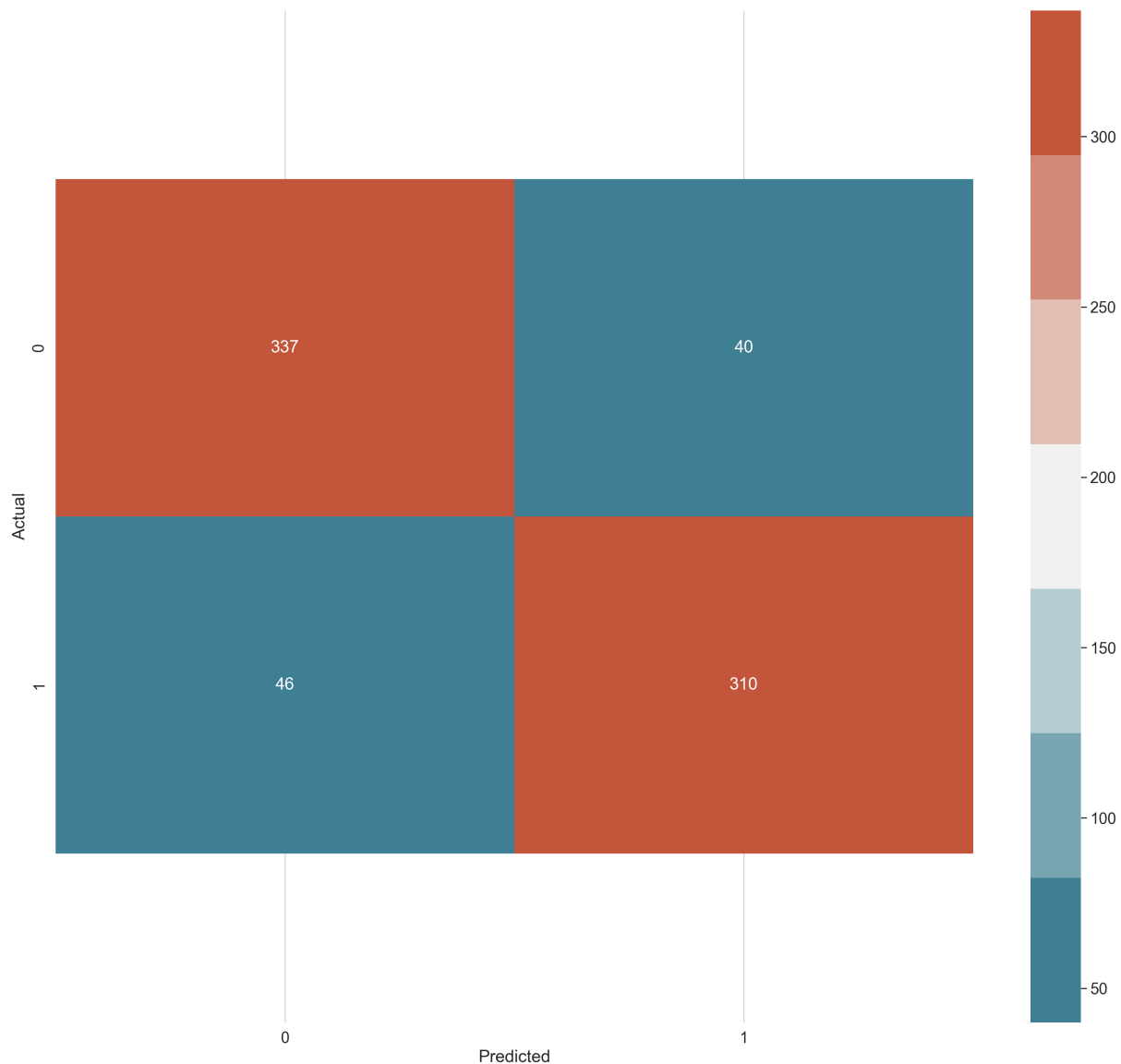


Figura 18 – Matriz de confusão resultante da CNN-LSTM

5 CONCLUSÕES

O tratamento dado aos dados demonstrou ter sumaria importância no desempenho da rede. Experimentos anteriores (não escritos neste documento) demonstravam que a rede era incapaz de classificar dados desbalanceados. A classificação dos eventos também deve ser revista, uma vez que a base de tempo descrita no data set esta sujeita a pequenos erros, o que influencia no resultado de aprendizagem e desempenho das redes.

Como esperado, a rede CNN-LSTM mostrou um melhor desempenho quando comparada a rede LSTM. A construção e o ajuste dos parâmetros das redes não são tarefas triviais. Os resultados podem e devem ser melhorados futuramente com um melhor refinamento da construção e ajuste dos parâmetros. Para isso, mais experimentos com diferentes combinações de parâmetros devem ser efetuados.

Ferramentas como o Copilot foram utilizadas no desenvolvimento deste trabalho, como parte do aprendizado sobre o tema.

Como somente os dados dos acelerômetros foram considerados, os dados do giroscópio também poderão trazer resultados melhores na identificação dos eventos.

Com a combinação do sinal dos acelerômetros mais giroscópio, uma tentativa de qualificar os eventos conforme descritos pela tabela 1 poderá ser feito.

A execução do algoritmo em um aplicativo de celular ou em um sistema embarcado que possui sensores semelhantes também é uma tarefa interessante que poderá trazer resultados promissores.

REFERÊNCIAS

- BOSCH. **Bosch MEMs Sensors**. 2025. Disponível em: <https://www.bosch-mobility.com/de/loesungen/elektronische-bauelemente/mems-sensoren/>.
- CALA, L. L. **Recognition and Tracking of Vehicles in Highways using Deep Learning**. 2019. Tese (Doutorado) — Universidade de São Paulo, 2019.
- CHO, K. *et al.* Learning phrase representations using rnn encoder-decoder for statistical machine translation. **arXiv preprint arXiv:1406.1078**, 2014.
- CHUNG, J. *et al.* Empirical evaluation of gated recurrent neural networks on sequence modeling. **PLOS ONE**, v. 12, p. 1–16, 04 2014.
- FERREIRA, J. *et al.* Driver behavior profiling: An investigation with different smartphone sensors and machine learning. **PLOS ONE**, v. 12, p. 1–16, 04 2017.
- GABRIEL, K. *et al.* **Small Machines, Large Opportunities: A Report on the Emerging Field of Microdynamics : Report of the Workshop on Microelectromechanical Systems Research ; Sponsored by the National Science Foundation**. AT & T Bell Laboratories, 1988. Disponível em: <https://books.google.de/books?id=7lKytgAACAAJ>.
- HOCHREITER, S.; SCHMIDHUBER, J. Long short-term memory. **Neural Computation**, v. 9, n. 8, p. 1735–1780, 1997.
- IBM. **What are recurrent neural networks?** 2024. Disponível em: <https://www.ibm.com/topics/recurrent-neural-networks>.
- LECUN, Y.; BENGIO, Y.; HINTON, G. Deep learning. **nature**, Nature Publishing Group, v. 521, n. 7553, p. 436, 2015.
- ROSENBLATT, F. The perceptron: A probabilistic model for information storage and organization in the brain. **Psychological Review**, v. 65, n. 6, p. 386–408, 1958. ISSN 0033-295X. Disponível em: <http://dx.doi.org/10.1037/h0042519>.
- WILLERS, O. *et al.* On the feasibility of deriving cryptographic keys from mems sensors. **Journal of Cryptographic Engineering**, v. 10, 04 2020.